

شناسایی آلل‌های خود ناسازگاری در ارقام و ژنوتیپ‌های بادام ایرانی به روش واکنش زنجیره‌ای پلیمرز (PCR)

سید اصغر موسوی قهفرخی^۱، محمدرضا فتاحی مقدم^{۲*}، ذبیح اله زمانی^۳، علی ایمانی^۴،
اینکارنا اورتگا^۵ و فدریکو دیستنا^۶

۱، ۲، ۳، دانشجوی سابق دکتری و استادیار فعلی مرکز تحقیقات کشاورزی شهرکرد، دانشیاران گروه علوم باغبانی پردیس کشاورزی و منابع طبیعی دانشگاه تهران، ۴، استادیار بخش تحقیقات باغبانی، مؤسسه تحقیقات اصلاح و تهیه نهال و بذر، کرج، ۵، ۶، استادیار و استاد گروه اصلاح نباتات، مؤسسه تحقیقات CEBAS-SCIC مورسیا، اسپانیا
(تاریخ دریافت: ۸۸/۴/۳ - تاریخ تصویب: ۸۹/۳/۹)

چکیده

بادام (*Prunus dulcis L.*) از گونه‌های اقتصادی جنس پرونوس و از خانواده رزاسه است. قسمت تجاری میوه بادام بذر خوراکی آن (مغز) می‌باشد، بنابراین انجام گرده‌افشانی و تلقیح برای تولید محصول در بادام ضروری است. اکثر ارقام تجاری بادام، خودناسازگار و برخی نیز دگرناسازگار هستند. خودناسازگاری در بادام گامتوفیتیک بوده و توسط یک مکان ژنی با چندین فرم آللی و به صورت همباز کنترل می‌شود. در این مطالعه آلل‌های خودناسازگاری ۷۰ رقم و ژنوتیپ بادام ایرانی و ۱۷ رقم خارجی به روش واکنش زنجیره‌ای پلیمرز (PCR) و با استفاده از ترکیب آغازگرهای دژنره که بر اساس توالی نواحی حفاظت شده مکان ژنی ناسازگاری در جنس پرونوس طراحی شده‌اند، تعیین گردید. جداسازی محصول PCR روی ژل آگارز و اندازه باندهای تکثیر شده در ارقام بادام ایرانی با اندازه آلل‌های شناخته شده در ارقام بادام خارجی شاهد و نشانگر یک کیلو جفت بازی مقایسه گردیدند. بر اساس نتایج در ۵۰ رقم و ژنوتیپ ایرانی از جمله ارقام ربیع (S₇S₂₇)، یلدا (S₁S₇)، آذر-۲ (S₃S₄)، حریر (S₄S₂₄)، سهند (S₁S₂)، زرقان-۷ (S₁S₄)، زرقان-۸ (S₁S₂)، منقأ دیرگل (S₁S₁₃)، منقأ (S₇S₁₄)، خورشیدی (S₄S₈)، شیربادام (S₂S₄)، شمشیری (S₇S₂₄)، مامایی اصفهان (S₁₀S₁₂) و ژنوتیپ‌های A-92 (S₈S₂₃)، A-2 (S₈S₁₃)، K-10-15 (S₈S₉)، K-1-16 (S₇S₂₄)، K-11-40 (S₁S₄) و (S₁S₉) A200 هر دو آلل خودناسازگاری و در ۲۰ رقم و ژنوتیپ مورد بررسی یک باندهای مربوط به آلل‌های گزارش شده قبلی مشاهده شد در حالی که اندازه باندهای دوم مشابه با اندازه باندهای قبلی یک از آلل‌های شناسایی شده قبلی در بادام نبوده و احتمالاً مربوط به یک آلل جدید است که برای معرفی قطعی آلل‌های جدید باید توالی کامل آنها تعیین گردد. تعداد ۸ باندهای تکثیر یافته جدید بودند که اندازه آنها متفاوت با اندازه آلل‌های شناخته شده در بادام بود. به طور مثال ارقام مامایی، سفید و تجاری به ترتیب دارای آلل‌های S₂₄، S₇، S₂₅ و باندهای جدیدی به اندازه ۱۲۵۰، ۱۰۰۰ و ۱۰۶۵ جفت باز بودند. در بین جمعیت بادام‌های ایرانی مورد مطالعه، آلل‌های خود ناسازگاری S₄، S₁، S₂₄، S₇، S₁₂ و S₂ به ترتیب بیشترین فراوانی را در این تحقیق نشان دادند. استفاده از آغازگرهای دژنره، یک روش مناسب برای شناسایی ژنوتیپ ناسازگاری در ارقام و ژنوتیپ‌های بادام می‌باشد.

واژه‌های کلیدی: بادام، آلل‌های ناسازگاری، آغازگر دیجیتال، نواحی حفاظت شده، مکان ژنی S.

مقدمه

ناسازگاری گامتوفیتیک^۱ یک مکانیزم گسترده در برخی گیاهان گلدار به حساب می آید که از خود گشنی یا گاهی دگرگشنی جلوگیری کرده و دگرگشنی را تقویت می کند (Nettancourt, 1977). بیشتر گونه های خانواده رزاسه دارای ناسازگاری گامتوفیتیک هستند. ناسازگاری گامتوفیتیک توسط ژنوتیپ هاپلوئید دانه گرده و دیپلوئید مادگی تعیین می شود (McCubbin & Kao, 2000). در این سیستم خودناسازگاری، RNA موجود در لوله گرده که دارای آلل ناسازگاری (S) مشترک با ژنوتیپ ناسازگاری دیپلوئید مادگی است، توسط آنزیم ریبونوکلئاز موجود در خامه، هضم و متلاشی شده و به این ترتیب رشد لوله گرده در خامه متوقف می گردد و این یکی از دو فرضیه اصلی در ارتباط با مکانیزم ناسازگاری گامتوفیتیک است (McClure & Franklin-Tong, 2006). انجام گرده افشانی و تلقیح برای تولید محصول در بادام ضروری است اما اکثر ارقام تجاری بادام، خودناسازگار و برخی نیز دگرناسازگار هستند. بنابراین کاشت حداقل دو رقم گرده ز که علاوه بر سازگاری گرده افشانی با رقم اصلی، از نظر زمان گلدهی نیز همپوشانی کامل داشته باشند در کنار رقم اصلی در باغ های بادام ضروری است (Kester & Gradziel, 1996; Socias i Company, 1990). خود ناسازگاری در بادام گامتوفیتیک بوده و توسط یک مکان ژنی با چندین فرم آللی کنترل می شود (Dicenta & Garcia, 1993). این مکان ژنی روی گروه لینکاژی G6 در نقشه ژنتیکی بادام قرار دارد (Ballester et al., 1998). مکان ژنی کنترل کننده ناسازگاری گامتوفیتیک در جنس پرونوس دو قسمتی است. یک ترکیب گلیکوپروتئینی با فعالیت ریبونوکلئازی به نام S-RNase به عنوان عامل تشخیص در بافت ماده و در قسمت خامه قرار دارد (Ushijima et al., 1998; Tao et al., 1997; Certal et al., 1997; Certal et al., 2002; Boskovic et al., 1997). ترکیب پروتئینی مخصوص در دانه گرده که حاصل بیان ژن SFB^۲ است و به عنوان عامل تشخیص دانه گرده

عمل می کند (Ushijima et al., 2003). هر دو قسمت (ژن های S-RNase و SFB) در جنس پرونوس چند شکلی بالایی داشته و تنوع زیادی در توالی این ژن های ناسازگاری مشاهده شده و اثر متقابل این دو ژن منجر به تشخیص و بیان حالت ناسازگاری گامتوفیتیک در خامه شده است (Halasz et al., 2006; Sutherland et al., 2008).

مطالعات اولیه برای تعیین آلل های ناسازگاری در بادام با استفاده از تلاقی های کنترل شده و در شرایط مزرعه صورت گرفت و آلل های خود ناسازگاری S₁, S₂, S₃, S₄, S₇, S₈ و آلل خود سازگاری S_F شناسایی گردیده است (Crosa-Raynaud & Grasselly, 1985; Kester et al., 1994). اگرچه روش گرده افشانی کنترل شده در مزرعه و تعیین میزان تشکیل میوه اولیه و نهایی، روش نسبتاً کم هزینه ای است ولی نتایج حاصل از آن تحت تاثیر عوامل محیطی قرار می گیرد. بنابراین به منظور حذف تاثیر عوامل محیطی، انجام تلاقی های کنترل شده توسط دانه گرده با آلل ناسازگاری مشخص^۳ در شرایط آزمایشگاه انجام و رشد لوله گرده و لقاح به روش میکروسکوپ فلورسانس مورد مطالعه قرار می گیرد (Halasz & Hegedus, 2006). از این روش برای تعیین وضعیت سازگاری گرده افشانی در ارقام بادام استفاده شده است (Ortega et al., 2002; Ortega & Dicenta, 2003). در طی دهه های اخیر روش های ملکولی برای مطالعه و تعیین آلل های خود ناسازگاری توسعه یافته اند. یکی از این روش ها، بررسی گلیکوپروتئین های خامه گل با فعالیت ریبونوکلئازی بوده که توسط Boskovic et al. (1997) ابداع شده است و با استفاده از این روش ۲۳ آلل ناسازگاری در بادام گزارش شده است (Boskovic et al., 1997; Boskovic et al., 2003). آنالیز ریبونوکلئازهای خامه گل، یک روش موثر و مفید برای شناسایی آلل های ناسازگاری در بادام و سایر درختان میوه خانواده رزاسه می باشد. در این روش گیاه باید وارد مرحله گلدهی شده باشد (Certal et al., 2002; Halasz & Hegedus 2006; Ortega & Dicenta, 2004).

1. Gametophytic Incompatibility
2. S-haplotype-specific F-box

3. Tester

Ortega et al. (2005) با استفاده از ترکیب جفت آغازگرهای دژنره Pacons I-F/EM-PC1cons RD و EM-PC2cons FD/EM-PC3cons RD بر اساس محصول PCR، اندازه قطعات توالی اینترون‌های اول و دوم آلل‌های S_1 تا S_{29} و اندازه آلل S_f را در ارقام مختلف بادام با PCR معمولی و نیز با استفاده از آغازگرهای فلورسنت تعیین کردند. آنها ضمن تأیید آلل‌هایی که قبلاً گزارش شده بودند (آلل‌های S_1 - S_{24})، پنج آلل جدید (S_{25} - S_{29}) نیز شناسایی و معرفی کردند.

Ortega et al. (2006) به منظور تأیید آلل‌های شناسایی شده در مکان S، کلیه باندهای حاصل از تکثیر آغازگرهای اینترون اول و دوم را توالی‌یابی و گزارش کردند که آلل فرضی S_{10} گزارش شده Channantapipat et al. (2003) در واقع یک آلل جدید بوده و به نام آلل S_{24} نامگذاری نمودند. این محققان گزارش کردند که اندازه توالی بعضی از آلل‌های قبلی گزارش شده در بادام مشابه همدیگر است و در واقع آلل‌های S_1 ، S_{16} و S_{17} با همدیگر و آلل‌های S_4 با S_{20} و آلل‌های S_{13} با S_{19} و همچنین آلل‌های S_5 با S_{15} توالی یکسانی داشته و مشابه همدیگرند. شناسایی آلل‌های خود ناسازگاری و تعیین ژنوتیپ خود ناسازگاری در ارقام بادام جهت انتخاب صحیح درختان گرده‌زا^۲ در احداث باغات به منظور افزایش عملکرد و همچنین انتخاب والدین مناسب در برنامه‌های بن‌زادی جهت اطمینان از موفقیت در تلاقی‌های کنترل شده مفید و حائز اهمیت می‌باشد (Lopez et al., 2006; Ortega et al., 2006).

به دلیل اهمیت آلل‌های ناسازگاری، این پژوهش با هدف شناسایی و تعیین ژنوتیپ ناسازگاری در ارقام و ژنوتیپ‌های امیدبخش بادام ایرانی با استفاده از آغازگرهای دژنره به روش واکنش زنجیره‌ای پلیمرز انجام گرفته است.

مواد و روش‌ها

مواد گیاهی

مواد گیاهی مورد بررسی در این پژوهش شامل ۷۰

در سال‌های اخیر، توالی DNA تعدادی از آلل‌های ناسازگاری (S-alleles) تعیین شده و روش‌های مولکولی مبتنی بر PCR برای شناسایی آلل‌های ناسازگاری توسعه پیدا کرده است. آغازگرهای اختصاصی برای شناسایی برخی از آلل‌های S و آلل خود ناسازگاری S_f (Channantapipat et al., 2003; Ma & Oliveira, 2001a; Sanchez-Perez et al., 2004) و همچنین آغازگرهای عمومی بر اساس توالی‌های حفاظت شده در آلل‌های ناسازگاری در بادام (Channantapipat et al., 2001; Kodad et al., 2008; Tamura et al., 2000; Ushijima et al., 1998)، طراحی و مورد استفاده قرار گرفته است. این روش سریع، نسبتاً آسان، مطمئن و قابل اجرا روی نهال‌های جوان بوده و قابلیت بالایی جهت شناسایی ژنوتیپ ناسازگاری در درختان میوه مانند بادام دارد (Halasz & Hegedus, 2006; Ortega & Dicenta, 2004).

آغازگرهای دژنره بر اساس توالی مناطق حفاظت شده ژن خود ناسازگاری در گونه‌های پرونوس طراحی شده‌اند (Ortega et al., 2005; Sonneveld et al., 2004; Sutherland et al., 2003). ترکیب‌های متفاوت این آغازگرهای دژنره به طور موفقیت‌آمیزی جهت تشخیص و شناسایی آلل‌های S در بادام (Ortega et al., 2004; Sutherland et al., 2004) گیلان (Sonneveld et al., 2005) و زردآلو (Sutherland et al., 2001; et al., 2004) استفاده (Halasz et al., 2005; Zhang et al., 2008) شده‌اند. آغازگرهای رو به جلو EM-PC2cons FD و رو به عقب EM-PC3cons RD بر اساس توالی حفاظت شده و ثابت مناطق حفاظت شده C2 و C3 مکان S در جنس پرونوس توسط Sutherland et al. (2004) طراحی شده‌اند و قادر به تکثیر اینترون دوم آلل‌های ناسازگاری بادام می‌باشند. برای تکثیر اینترون اول در آلل‌های ناسازگاری بادام از ترکیب آغازگر رو به جلو Pacons I-F (Sonneveld et al., 2003) که بر اساس توالی ابتدای ساختمان ژن خود ناسازگاری در گیلان طراحی شده است با آغازگر معکوس EM-PC1cons RD که بر اساس توالی منطقه حفاظت شده C1 حاصل از توالی ۲۷ آلل ناسازگاری در جنس پرونوس طراحی شده است (Ortega et al., 2005)، استفاده می‌شود.

1. Putative
2. Pollinizer

بختیاری (شهرکرد) و ایستگاه تحقیقات باغبانی سهند وابسته به مرکز تحقیقات کشاورزی و منابع طبیعی آذربایجان شرقی (تبریز) تهیه شد. ارقام خارجی نیز از کلکسیون بادام مؤسسه تحقیقاتی CEBAS-CSIC در کشور اسپانیا تهیه گردیدند. نمونه‌های برگ با استفاده از ظروف حاوی یخ به آزمایشگاه منتقل و بلافاصله در ازت مایع منجمد گردیدند و تا زمان استخراج DNA در فریزر ۸۰- درجه سانتی‌گراد نگهداری شدند.

رقم و ژنوتیپ بادام ایرانی (جدول ۱) و ۱۷ رقم بادام خارجی در برگیرنده کلیه آل‌های شناخته شده خودناسازگاری (جدول ۲) بودند. نمونه‌های برگ از سرشاخه‌های جوان ارقام و ژنوتیپ‌های ایرانی موجود در کلکسیون‌های بادام ایستگاه تحقیقات باغبانی واقع در کمال‌آباد کرج وابسته به مؤسسه تحقیقات اصلاح و تهیه نهال و بذر، باغ امامیه در منطقه سامان وابسته به مرکز تحقیقات کشاورزی و منابع طبیعی چهار محال و

جدول ۱- ارقام و ژنوتیپ‌های بادام ایرانی مورد بررسی در این پژوهش

ردیف	رقم/ژنوتیپ	منشا	محل جمع‌آوری	ردیف	رقم/ژنوتیپ	منشا	محل جمع‌آوری
۱	پوست نازک	ایران	اصفهان	۳۶	کا-۱-۱۶*	ایران	کرج
۲	تجاری	ایران	اصفهان	۳۷	کا-۲-۲۹	ایران	کرج
۳	حاج میرزایی	ایران	اصفهان	۳۸	کا-۱۰-۱۱	ایران	کرج
۴	خورشیدی	ایران	اصفهان	۳۹	کا-۱۰-۱۵	ایران	کرج
۵	سفری	ایران	اصفهان	۴۰	کا-۱۱-۴۰	ایران	کرج
۶	شمشیری	ایران	اصفهان	۴۱	کا-۱۲-۴	ایران	کرج
۷	شیر بادام	ایران	اصفهان	۴۲	کا-۱۶-۸	ایران	کرج
۸	مامایی فریدون شهر(اصفهان)	ایران	اصفهان	۴۳	۵- دانشکده	ایران	کرج
۹	منقا	ایران	اصفهان	۴۴	۱۱- دانشکده	ایران	کرج
۱۰	منقای دیرگل	ایران	اصفهان	۴۵	۹۹- دانشکده	ایران	کرج
۱۱	هلویی	ایران	اصفهان	۴۶	کرمان-۱	ایران	کرمان
۱۲	آ ۲۰۰	اسپانیا	تبریز	۴۷	کرمان-۵	ایران	کرمان
۱۳	آ ۲۳۰	اسپانیا	تبریز	۴۸	کرمان-۱۹	ایران	کرمان
۱۴	آذر-۲	ایران	تبریز	۴۹	کرمان-۲۰	ایران	کرمان
۱۵	حریر	ایران	تبریز	۵۰	باقر	ایران	قزوین
۱۶	سهند	ایران	تبریز	۵۱	عبداله	ایران	قزوین
۱۷	یلدا-۲	ایران	تبریز	۵۲	قزوین-۱	ایران	قزوین
۱۸	زنجان-۲	ایران	زنجان	۵۳	قزوین-۲	ایران	قزوین
۱۹	زنجان-۱	ایران	زنجان	۵۴	قزوین-۵	ایران	قزوین
۲۰	آذر-۱	ایران	شهرکرد	۵۵	قزوین-۱۶	ایران	قزوین
۲۱	Ar شهرکرد	ایران	شهرکرد	۵۶	قزوین-۲۵	ایران	قزوین
۲۲	E1 شهرکرد	ایران	شهرکرد	۵۷	قزوین-کا-۱	ایران	قزوین
۲۳	G2 شهرکرد	ایران	شهرکرد	۵۸	مشهد-۱۳	ایران	مشهد
۲۴	ربیع	ایران	شهرکرد	۵۹	مشهد-۱۷	ایران	مشهد
۲۵	سفید	ایران	شهرکرد	۶۰	مشهد-۳۰	ایران	مشهد
۲۶	شکوفه	ایران	شهرکرد	۶۱	مشهد-۴۰	ایران	مشهد
۲۷	مامایی	ایران	شهرکرد	۶۲	مشهد-۸	ایران	مشهد
۲۸	یلدا-۱	ایران	شهرکرد	۶۳	مشهد-۹۱	ایران	مشهد
۲۹	زرقان-۷	نامعلوم	شیراز	۶۴	یزد-۱۱	ایران	یزد
۳۰	زرقان-۸	نامعلوم	شیراز	۶۵	یزد-۱۳	ایران	یزد
۳۱	شیراز-۱۹	ایران	شیراز	۶۶	یزد-۲	ایران	یزد
۳۲	شیراز-۴۶	ایران	شیراز	۶۷	یزد-۱۵	ایران	یزد
۳۳	نی ریز-۱	ایران	شیراز	۶۸	یزد-۱۷	ایران	یزد
۳۴	آ-۲	ایران	کرج	۶۹	یزد-۲۱	ایران	یزد
۳۵	آ-۹۲	ایران	کرج	۷۰	یزد-۱۰۳	ایران	یزد

* ژنوتیپ‌های تحت شماره کا... حاصل تلاقی بین ارقام خارجی و ارقام محلی هستند و به عنوان ارقام برتر انتخابی تحت بررسی و ارزیابی می‌باشند.

جدول ۲- ارقام خارجی استاندارد* دارای آلل‌های S شناخته شده به عنوان شاهد

شماره	رقم	Cultivar	ژنوتیپ ناسازگاری	منشاء	منبع
۱	آ ۲- ۱۹۸	A2-198	S _F S _F	اسپانیا	دیسنتا و همکاران ۲۰۰۲
۲	آردچویس	Ardechoise	S ₁ S ₁₀	فرانسه	بوسکوئیچ و همکاران ۲۰۰۳
۳	آولانرا گروسا	Avellanera Gruesa	S ₂₂ S ₂₆	اسپانیا	اورتگا و همکاران ۲۰۰۵
۴	آی	Ai	S ₃ S ₄	فرانسه	بوسکوئیچ و همکاران ۱۹۹۷
۵	پادر	Padre	S ₁ S ₁₈	آمریکا	بوسکوئیچ و همکاران ۲۰۰۳
۶	پریمورسکی	Primorskyi	S ₅ S ₉	اکراین	بوسکوئیچ و همکاران ۲۰۰۳
۷	تیتان	Titan	S ₈ S ₁₄	آمریکا	اورتگا و همکاران ۲۰۰۵
۸	رامیلت	Ramillete	S ₆ S ₂₃	اسپانیا	بوسکوئیچ و همکاران ۲۰۰۳
۹	رومبتا	Rumbeta	S ₁₁ S ₂₁	اسپانیا	بوسکوئیچ و همکاران ۲۰۰۳
۱۰	سباس- ۱	CEBAS-I	S ₄ S ₁₃	اسپانیا	بوسکوئیچ و همکاران ۲۰۰۳
۱۱	فرانیس	Ferragnes	S ₁ S ₃	فرانسه	بوسکوئیچ و همکاران ۱۹۹۷
۱۲	فورنات دیرزند	Fournat de Brezenaud	S ₂₄ S ₂₇	فرانسه	بوسکوئیچ و همکاران ۲۰۰۳
۱۳	فینا دل آلتو	Fina del Alto	S ₂₈ S ₂₉	اسپانیا	اورتگا و همکاران ۲۰۰۵
۱۴	کریستومورتو	Cristomorto	S ₁ S ₂	ایتالیا	بوسکوئیچ و همکاران ۱۹۹۷
۱۵	ال - ۹ (آی ایکس ال)	IXL	S ₇ S ₈	آمریکا	بوسکوئیچ و همکاران ۱۹۹۷
۱۶	لامونا	La Mona	S ₂₃ S ₂₅	اسپانیا	اورتگا و همکاران ۲۰۰۵
۱۷	مارکونا	Marcona A.D.	S ₁₁ S ₁₂	اسپانیا	بوسکوئیچ و همکاران ۱۹۹۸

*منبع: Ortega et al. (2005, 2006)

استخراج DNA

استخراج DNA ژنومی از ارقام ایرانی به روش Murray & Thompson (1980) با کمی تغییرات انجام گرفت. به این منظور از بافر استخراج شامل ۱۰۰ میلی‌مولار تریس pH=۸، ۲۰ میلی‌مولار EDTA، ۱/۴ میلی‌مولار کلرید سدیم، ۲ درصد هگزاستیل تری‌متیل آمونیوم بروماید (CTAB)، ۲ درصد پلی‌وینیل پیرولیدون (PVP₄₀) و ۱ درصد ۲-بتا مرکاپتوتانول استفاده شد. استخراج DNA ارقام خارجی بر اساس روش Doyle & Doyle (1987) و تغییر یافته توسط Ortega & Sonneveld et al. (2001) که توسط Ortega & Dicenta (2003) برای بادام بهینه‌سازی شده بود، انجام گرفت. به منظور تعیین کمیت و کیفیت DNA از روش اسپکتروفتومتری و الکتروفورز روی ژل آگارز استفاده گردید. استخراج DNA از ارقام و ژنوتیپ‌های ایرانی در آزمایشگاه بیوتکنولوژی گروه علوم باغبانی پردیس کشاورزی و منابع طبیعی انجام گرفت و نمونه‌های DNA استخراج شده روی یخ خشک به مؤسسه تحقیقاتی CEBAS-SCIC در دانشگاه مورسیا در کشور اسپانیا منتقل گردید و کلیه مراحل آزمایشات مولکولی

جهت تعیین آلل‌های S در این مؤسسه انجام گردید.

شرایط PCR

واکنش PCR: شرایط واکنش PCR با آغازگرهای دیجنریت اینترون دوم در حجم ۲۰ میکرولیتر به روش Ortega et al. (2005) و Sutherland et al. (2004) شامل ۱ میکرولیتر از غلظت ۲۰ نانوگرم در ماکرو لیتر DNA ژنومی، ۲ میکرولیتر بافر PCR (10X)، ۰/۸ میکرولیتر کلرید منیزیم ۲۵ میلی‌مولار، ۲ میکرولیتر از مخلوط ۲ میلی‌مولار نوکلئیدها (dNTPs)، ۱/۲ میکرولیتر از غلظت ۵ میکرومولار هر آغازگر، ۲ میکرولیتر از محلول Q (5X)، ۰/۱ میکرولیتر از آنزیم تگ DNA (Taq) پلیمرز باغلظت ۵ واحد در میکرولیتر انجام گرفت. در واکنش PCR با استفاده از آغازگرهای دژنره اینترون اول و جفت اینترون از محلول Q استفاده نگردید ولی سایر اجزای واکنش یکسان بودند.

شرایط تکثیر PCR

برای تکثیر عمومی آلل‌های S از آغازگرهای دژنره استفاده گردید (جدول ۳). برای تکثیر اینترون دوم از آغازگرهای رو به جلو EM-PC₂consFD و رو به عقب (برگشت) EM-PC₃consRD طراحی شده توسط

استفاده از دستگاه ترموسایکلر اپندروف ساخت کشور آلمان انجام گرفت.

شرایط الکتروفورز

شرایط الکتروفورز طبق روش (Ortega et al., 2005) با کمی تغییرات و بهینه سازی شرایط به شرح زیر انجام شد. الکتروفورز محصول PCR در بافر TAE با استفاده از آغازگرهای اینترون دوم روی ژل آغاز ۱/۵ درصد به مدت ۵ ساعت در ۷۵ ولت انجام گرفت. الکتروفورز با آغازگرهای اینترون اول روی ژل آغاز ۲ درصد با ولتاژ ۵۵ برای مدت ۶ ساعت انجام گردید. برای آغازگرهای جفت اینترون ژل آغاز ۱/۵ درصد، ولتاژ ۶۰ و برای مدت ۵ ساعت استفاده شد.

رنگ آمیزی و تعیین اندازه باندهای تکثیر شده

رنگ آمیزی ژل در محلول اتیدیوم بروماید به غلظت ۰/۵ میکروگرم در لیتر به مدت یک ساعت انجام شد و پس از آن باندهای تکثیر شده در زیر نور ماورابنفش آشکار و عکسبرداری از آنها توسط دستگاه ژل داگ مدل SYNGENE انجام گردید. اندازه باندهای تکثیر یافته در ارقام بادام ایرانی با استفاده از نشانگر اندازه یک کیلو جفت بازی (به شماره کاتالوگ ۰۱۸-۱۰۷۸۷، ساخت شرکت Invitrogen) و اندازه باندهای مرتبط با آللهای شناخته شده در ارقام خارجی استاندارد (جدول ۲) محاسبه شد و ژنوتیپ خودناسازگاری ارقام بادام ایرانی تعیین گردید.

نتایج و بحث

نتایج حاصل از تکثیر آللهای مکان S با استفاده از آغازگرهای دژنره اینترون دوم نشان داد که این آغازگرها قادرند ۲۸ آلل از مجموع ۲۹ آلل خود ناسازگاری شناخته شده در بادام را تکثیر نمایند (جدول ۴).

Sutherland et al. (2004)، جهت تکثیر اینترون اول از آغازگرهای رو به جلو PaconsI-F، (Sonneveld et al., 2003) و آغازگر رو به عقب EM-PC1consRD، (Ortega et al., 2005) و برای تکثیر هر دو اینترون از آغازگرهای رو به جلو Pacons I-F، (Sonneveld et al., 2003) و آغازگر رو به عقب EM-PC5cons RD، (Sutherland et al., 2004) استفاده گردید. به این ترتیب، ترکیب آغازگرها برای اینترون اول (SP+C1)، اینترون دوم (C2+C3) و جفت اینترون (SP+C5) بود (جدول ۳). ابتدا محصول PCR ارقام ایرانی با استفاده از جفت آغازگر اینترون دوم EM-PC2consFD/ EMPC3 consRD در کنار ارقام خارجی استاندارد و نشانگر اندازه یک کیلو جفت بازی در ژل آغاز مقایسه گردیدند. در مواردی که در ارقام ایرانی یک باند تکثیر شد و یا اندازه باند خیلی دقیق نبود، از ترکیب آغازگرهای اینترون اول (PaconsI-F/EMPC1consRD) و یا جفت اینترون (EM-PC2consFD/EM-PC5consRD) برای تکثیر استفاده گردید. در هر واکنش PCR از DNA ژنومی ۳ رقم بادام ایرانی و ۱۵ رقم بادام خارجی (جدول ۲) به عنوان شاهد برای کلیه آللهای ناسازگاری شناخته شده در بادام استفاده گردید. ارقام شاهد بر اساس نتایج Ortega et al. (2005، 2006) طوری انتخاب شدند که کلیه آللهای شناسایی شده در ارقام بادام را پوشش دهند. شرایط دما و زمان واکنش PCR با استفاده از آغازگرهای اینترون اول و دوم براساس روش Ortega et al. (2005) و با استفاده از آغازگرهای جفت اینترون نیز شرایط دما و زمان با کمی تفاوت شامل زمان بسط آغازگر به مدت ۴ دقیقه و مرحله بسط نهایی به مدت ۱۰ دقیقه، در بقیه مراحل شبیه شرایط تکثیر با آغازگرهای اینترون دوم بود. واکنش زنجیره ای پلیمرز با

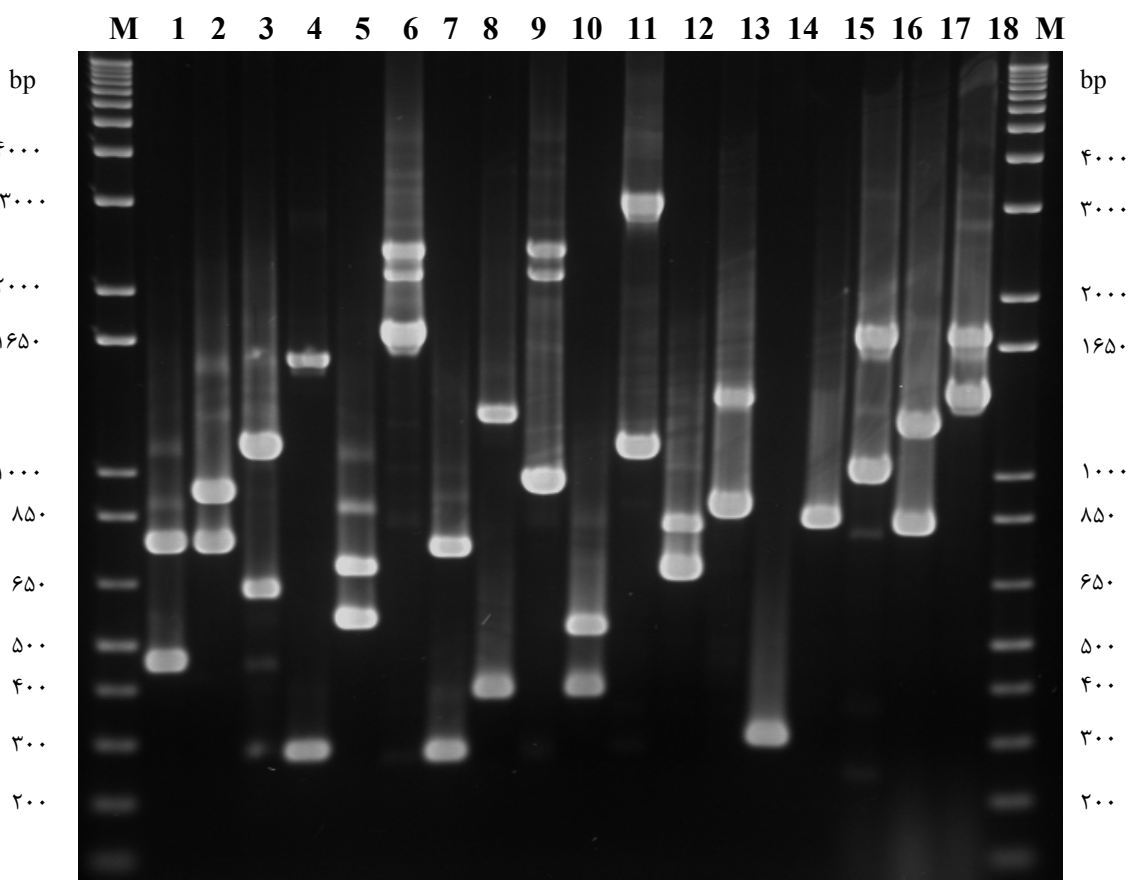
جدول ۳- توالی آغازگرهای دیجیتال مورد استفاده در این پژوهش.

منبع	توالی آغازگر (3' → 5')	کد آغازگر*	نام آغازگر
سانولد و همکاران، ۲۰۰۳	(C/A)CT TGT TCT TG(C/G) TTT (T/C)GC TTT CTT C	SP	PaConsI-F
اورتگا و همکاران، ۲۰۰۵	GCC A(C/T)T GTT G(A/C)A CAA A(C/T)T GAA	C1	EM-PC1consRD
ساترلند و همکاران، ۲۰۰۴	TCA C(A/C)A T(C/T)C ATG GCC TAT	C2	EM-PC2consFD
ساترلند و همکاران، ۲۰۰۴	A(A/T)(C/G) T(A/G)C C(A/G)T G(C/T)TTGT TCC ATT C	C3	EM-PC3consRD
ساترلند و همکاران، ۲۰۰۴	CAA AAT ACC ACT TCA TGT AA CA(A/G)	C5	EM-PC5consRD

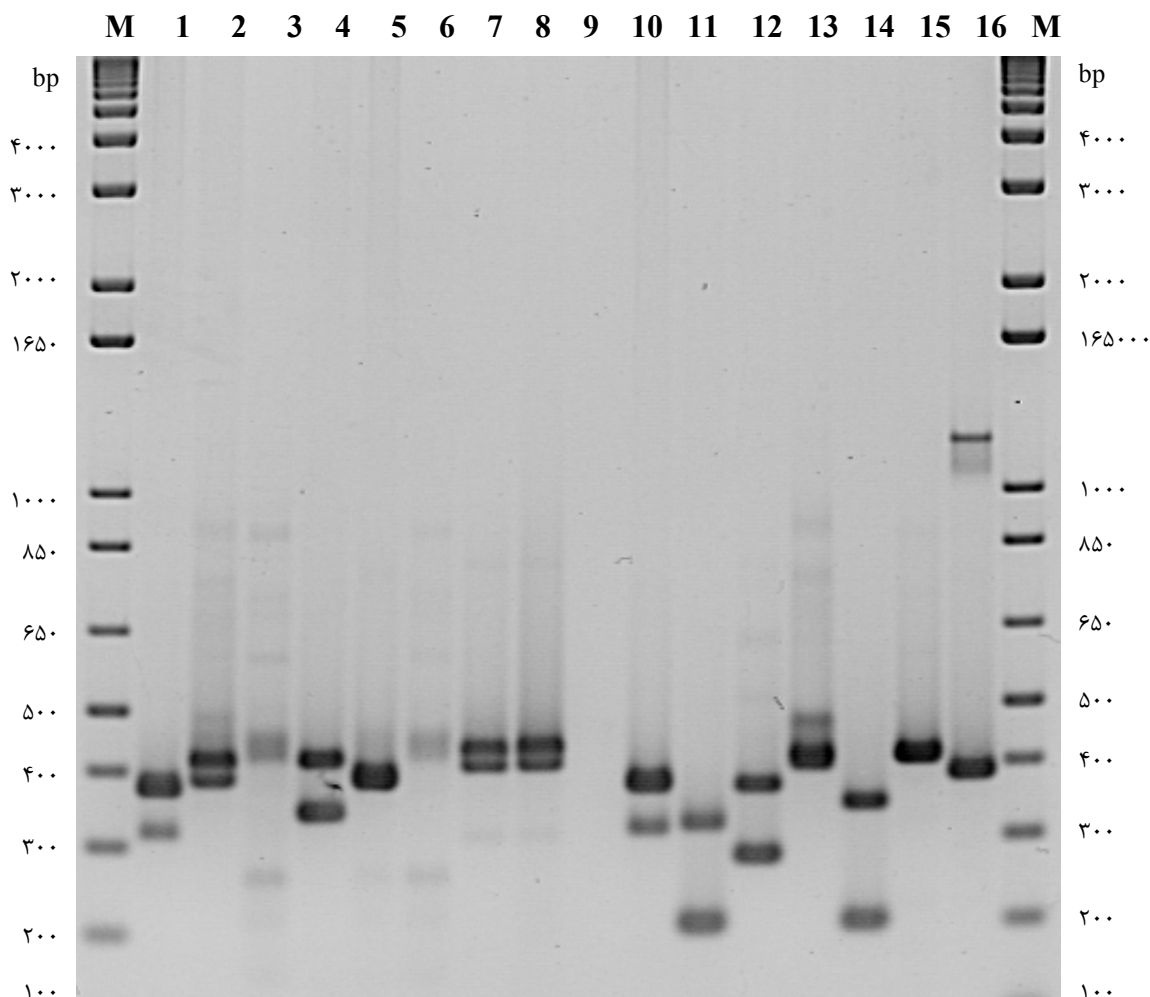
* کد بر اساس ناحیه مورد تکثیر آغازگر در ساختمان ژن خودناسازگاری تعیین گردیده است.

اینترون اول نیز بررسی گردیدند که تنها رقم Gr-16' قزوین' باندی نزدیک به آلل S₂₉ در رقم شاهد 'فینادل آلتو' نشان داد (شکل ۲). به دلیل اینکه اندازه باندهای تکثیر شده با جفت آغازگر اینترون اول خیلی نزدیک به هم هستند و تشخیص تفاوت بر اساس نتایج حاصل از این آغازگرها در ژل آگارز مشکل است (Ortega et al., 2005)، بنابراین ژنوتیپ Gr-16' قزوین' با استفاده از آغازگرهای جفت اینترون بررسی مجدد شد. بر اساس آغازگرهای اینترون دوم این رقم فقط دارای آلل S₂ بود ولی بر اساس آغازگرهای جفت اینترون علاوه بر آلل S₂، یک باند به اندازه حدود ۱۷۰۰ جفت باز تکثیر گردید که متفاوت از آلل S₂₉ بود و احتمالاً یک آلل جدید است (شکل ۳).

آغازگرهای اینترون دوم تنها قادر به تکثیر آلل S₂₉ در رقم شاهد 'فینادل آلتو' (S₂₈S₂₉) (شکل ۱) و ارقام ایرانی و خارجی دارای این آلل نبودند که احتمالاً بیانگر تطابق ضعیف این آغازگرها با توالی هدف در این آلل و یا شاید به دلیل وجود یک اینترون خیلی بزرگ در توالی این آلل باشد، بنابراین برای تکثیر این آلل در ارقام ایرانی از آغازگرهای اینترون اول استفاده گردید (شکل ۲). بر اساس نتایج رقم خارجی 'فیتادل آلتو' (S₂₈S₂₉) و ارقام و ژنوتیپ‌های ایرانی 'A-92'، 'K-11-40'، 'K-16-8'، 'حریر'، 'زرقان-۷'، 'صفری'، 'مشهد-۱۷'، 'مشهد-۴۰'، 'Gr-16' قزوین'، 'محمد باقر'، 'عبداله'، و 'G-99' دانشکده'، در تکثیر با آغازگرهای اینترون دوم یک باند نشان دادند. این ارقام با آغازگرهای



شکل ۱- تکثیر آلل‌های خودناسازگاری رقم‌های مختلف بادام با استفاده از آغازگرهای دیچنریت اینترون دوم M: نشانگر DNA (جفت باز)، (۱) کریستومرتو، (۲) فرانسیس، (۳) سباس-۱، (۴) پرمورسکی، (۵) رامیلت، (۶) ال-۹، (۷) آردچویس، (۸) مارکونا، (۹) تیتان، (۱۰) رومبتا، (۱۱) اولانرا گروسا، (۱۲) لامونا، (۱۳) فورنات دی برزند، (۱۴) فینا دل آلتو، (۱۵) A-۲-۱۹۸، (۱۶) سفید، (۱۷) مامایی، (۱۸) ربیع.



شکل ۲- تکثیر آلل های خودناسازگاری رقم های مختلف بادام با استفاده از آغازگرهای دیجنریت اینترون اول M: نشانگر DNA (جفت باز)، (۱) فینا دل آلتو، (۲) A-۹۲، (۳) کا-۱۱-۴۰، (۴) کا-۱۶-۸، (۵) حریر، (۶) زرقان-۸، (۷) صفری، (۸) مشهد-۱۷، (۹) کنترل منفی (Blank)، (۱۰) فینا دل آلتو، (۱۱) مشهد-۴۰، (۱۲) Gr-قزوین، (۱۳) محمد باقر، (۱۴) عبدالله، (۱۵) G-۹۹ دانشکده، (۱۶) G-۱۱ دانشکده

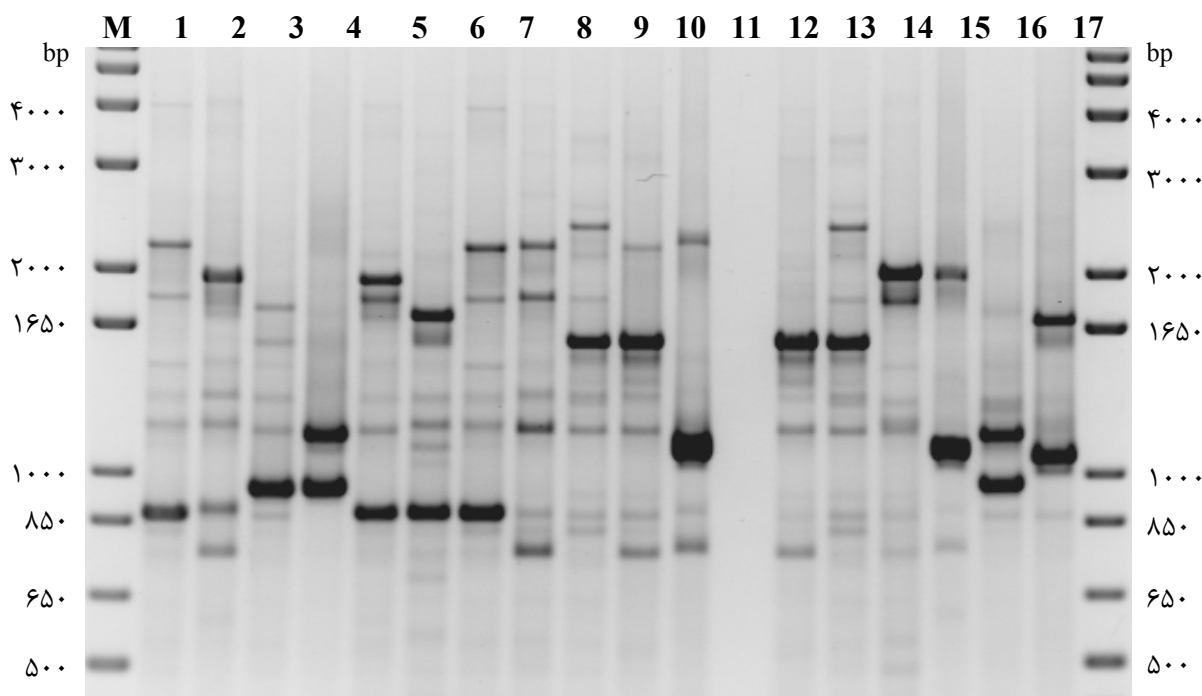
۲۰ رقم و ژنوتیپ باقی مانده، یک باند مربوط به آلل های قبلاً گزارش شده مشاهده شد و آلل ناسازگاری مشخص گردید در حالیکه اندازه باند دوم مشابه باند هیچ یک از آلل های قبلاً شناسایی شده در بادام نبوده و تعداد ۸ باند جدید با اندازه های متفاوت تکثیر گردید که احتمالاً مربوط به آلل های جدید ناسازگاری است، که برای معرفی قطعی آلل های جدید باید توالی کامل آنها تعیین گردد. با محاسبه اندازه باندهای تکثیر شده در ارقام و ژنوتیپ های ایرانی و مقایسه آنها با اندازه باندهای مرتبط با آلل های ناسازگاری در ارقام شاهد و با استفاده از نشانگر اندازه یک کیلو جفت بازی، ژنوتیپ ناسازگاری ارقام ایرانی تعیین شد (جدول ۴). به طور مثال ژنوتیپ

نتایج حاصل از تکثیر با استفاده از آغازگرهای اینترون دوم نشان داد که آلل S₈ در ارقام 'آی ایکس ال' و 'تیتان' دارای ۲ باند با اندازه های حدود ۲۲۳۰ و ۲۴۷۰ جفت باز بود (شکل ۱) که با نتایج Ortega et al. (2005) مطابقت دارد. اندازه باندهای حاصل از تکثیر آلل ها با آغازگرهای اینترون دوم در ارقام مورد بررسی از حدود ۳۰۰ جفت باز (S₁₀) تا حدود ۳۰۰۰ جفت باز (S₂₆) متغیر بود (جدول ۴) که این تنوع زیاد در اندازه باندهای تکثیر شده، شناسایی آلل های مختلف را امکان پذیر ساخت که با نتایج Ortega et al. (2005) مطابقت داشت. از مجموع ۷۰ رقم و ژنوتیپ بادام ایرانی مورد بررسی، در ۵۰ رقم و ژنوتیپ هر دو آلل ناسازگاری و در

نتایج حاصل از تکثیر آلل‌ها در برخی از ارقام ایرانی با آغازگرهای اینترون اول حاکی از اندازه نزدیک باندها به هم بود که این امر شناسایی آلل‌های مذکور از طریق این آغازگرها را مشکل می‌کند (شکل ۲). Ortega et al. (2005) گزارش کردند که در تکثیر توسط آغازگرهای اینترون اول به دلیل کوچکی اندازه باندها (عمدتاً کوچک‌تر از ۵۰۰ جفت باز) و از طرفی نزدیکی این باندها به یکدیگر (در دامنه ۲۰۰ تا ۶۰۰ جفت باز) در ژل آگارز، بهتر است از آغازگرهای فلورسنت استفاده شده و با استفاده از دستگاه توالی‌یاب باندها شناسایی شوند (Ortega et al., 2005). با استفاده از آغازگرهای اینترون اول، در ارقام 'G-99' دانشکده، 'حریر'، 'بادام هلویی'، 'K-2-29'، 'Ar' شهرکرد، 'G-2' قزوین، 'GK-1' قزوین فقط یک باند تکثیر گردید (شکل ۲). این نتایج با Ortega et al. (2005) که گزارش کردند آغازگرهای اینترون اول در بسیاری از ارقام فقط یک باند تکثیر می‌نمایند مطابقت دارد. نتایج Ortega et al. (2006) نشان داد که آلل‌های S_5 و S_{15} ، S_{13} و S_{19} ، S_4 و

ناسازگاری در برخی از ارقام و ژنوتیپ‌های ایرانی که در این بررسی تعیین گردیدند شامل ارقام ربیع (S_7S_{27})، یلدا (S_1S_7)، حریر (S_4S_{24})، سهند (S_1S_2)، زرقان-۷ (S_1S_4)، زرقان-۸ (S_1S_2)، منقأی دیرگل (S_1S_{12})، منقا (S_7S_{14})، خورشیدی (S_4S_8)، شیر بادام (S_2S_4)، شمشیری (S_7S_{24})، مامایی فریدون شهر ($S_{10}S_{13}$) و ژنوتیپ‌های A-92 (S_8S_{23})، A-2 (S_8S_{13})، K-10- (S_8S_6)، 15، K-1-16 (S_7S_{24})، K-11-40 (S_1S_4) و A200 (S_1S_6) بودند.

در برخی از ارقام و ژنوتیپ‌های مورد بررسی یک آلل شناسایی گردید و آلل دیگر اندازه باند تکثیر یافته در آنها متفاوت با اندازه آلل‌های شناخته شده در ارقام شاهد (جدول‌های ۲ و ۴) بود، به طور مثال رقم مامایی دارای آلل S_{25} و یک باند جدید به اندازه ۱۲۵۰ جفت باز، رقم سفید دارای آلل S_7 و یک باند جدید به اندازه ۱۰۰۰ جفت باز، رقم تجاری دارای آلل S_{24} و یک باند جدید به اندازه ۱۱۰۰ جفت باز و ژنوتیپ K-2-29 دارای آلل S_8 و یک باند جدید ۱۰۶۰ جفت باز بودند (جدول ۴).



شکل ۳- تکثیر آلل‌های خود ناسازگاری رقم‌های مختلف بادام با استفاده از آغازگرهای دیجنریت جفت اینترون M: نشانگر DNA (جفت باز، ۱) پرمورسکی، ۲) آردچویس، ۳) بادام هلویی، ۴) پوست نازک، ۵) E-1- شهرکرد، ۶) G-2- قزوین، ۷) پرمورسکی، ۸) کا-۱۰-۱۵، ۹) کا-۱-۱۶، ۱۰) کا-۱۰-۱۱، ۱۱) A-۲۳۰، ۱۲) کنترل منفی (Blank)، ۱۳) فورنات دی بررزند، ۱۴) کا-۱-۱۶، ۱۵) G-۲۵- قزوین، ۱۶) کریستومورتو، ۱۷) یزد-۱۷، ۱۸) Gr-۱۶- قزوین.

S_{20} ، S_1 با S_{16} و S_{17} دارای اندازه و توالی مشابه هستند و لذا در این مقاله از نام آلل با شماره کوچکتر استفاده شده است، بنابراین در ارائه نتایج از آلل S_5 به جای S_{15} ، S_{13} به جای S_{19} ، S_4 به جای S_{20} و از S_1 به جای S_{16} و S_{17} استفاده شده است. به عنوان مثال، باند با اندازه ۳۳۰ جفت باز تکثیر شده با استفاده از آغازگرهای اینترون دوم تحت عنوان آلل S_5 گزارش شده است (جدول ۴).

جدول ۴- آلل‌های ناسازگاری و اندازه باندهای* مربوط به این آلل‌ها در ارقام و ژنوتیپ‌های بادام ایرانی

ژنوتیپ خودناسازگاری	اندازه باند (جفت باز)	رقم	ردیف	ژنوتیپ خودناسازگاری	اندازه باند (جفت باز)	رقم	ردیف
S_8S_9	۲۴۷۰ و ۲۲۳۰-۱۶۰۰	۱۵-۱۰-کا	۳۶	S_8S_{13}	۲۴۷۰ و ۲۲۳۰-۱۰۸۰	۲-آ	۱
S_1S_4	۷۵۰-۶۲۰	۴۰-۱۱-کا	۳۷	S_8S_{23}	۲۴۷۰ و ۲۲۳۰-۶۸۰	۹۲-آ	۲
S_1S_{12}	۷۵۰-۱۳۰۰	۴-۱۲-کا	۳۸	S_1S_9	۷۵۰-۱۵۶۰	۲۰۰-آ	۳
S_3S_8	۹۰۰-۲۴۷۰ و ۲۲۳۰	۸-۱۶-کا	۳۹	S_2S_9	۴۵۰-۱۵۶۰	۲۳۰-آ	۴
$S_{22}S_{24}$	۱۱۳۰-۸۷۵	کرمان-۱	۴۰	S_3S_{27}	۹۰۰-۱۳۶۰	آذر-۱	۵
$S_{11}S_{23}$	۴۰۰-۶۹۰	کرمان-۱۹	۴۱	S_3S_4	۹۰۰-۶۲۰	آذر-۲	۶
S_2S_{10}	۴۵۰-۳۰۰	کرمان-۲۰	۴۲	$S_{11}S_7$	۴۰۰-۴ ^۴	باقر (محمد باقر)	۷
S_4S_{21}	۶۲۰-۵۰۰	کرمان-۵	۴۳	$S_2S_C^1$	۴۵۰-۲۹۰	پوست نازک	۸
S_1S_{14}	۷۵۰-۱۰۵۰	۵- دانشکده	۴۴	$S_{24}S_B^1$	۸۷۵-۱۰۶۵	تجاری	۹
$S_{14}S_{22}$	۱۰۵۰-۱۱۳۰	۱۱- دانشکده	۴۵	S_4S_9	۶۲۰-۱۵۶۰	حاج میرزایی	۱۰
S_1S_7	۷۵۰-۴ ^۴	۹۹- دانشکده	۴۶	S_4S_{24}	۶۲۰-۸۷۵	حریر	۱۱
$S_A S_B$	۱۲۵۰-۱۰۶۵	Ar شهرکرد	۴۷	S_4S_8	۶۲۰-۲۴۷۰ و ۲۲۳۰	خورشیدی	۱۲
S_1S_5	۷۵۰-۳۳۰	E1 شهرکرد	۴۸	S_7S_{27}	۱۷۲۰-۱۳۶۰	ربیع	۱۳
$S_{10}S_B$	۳۰۰-۱۰۶۵	G2 شهرکرد	۴۹	S_1S_4	۷۵۰-۶۲۰	زرقان-۷	۱۴
$S_{25}S_A$	۸۵۰-۱۲۵۰	مامایی	۵۰	S_1S_2	۷۵۰-۴۵۰	زرقان-۸	۱۵
$S_{10}S_{12}$	۳۰۰-۱۳۰۰	مامایی اصفهان	۵۱	$S_{12}S_{24}$	۱۳۰۰-۸۷۵	زنجان-۱	۱۶
S_7S_{14}	۱۷۲۰-۱۰۵۰	منقا	۵۲	S_8S_9	۲۴۷۰ و ۲۲۳۰-۱۵۶۰	زنجان-۲	۱۷
S_1S_{13}	۷۵۰-۱۰۸۰	منقای دیرگل	۵۳	S_7S_D	۱۷۲۰-۱۰۰۰	سفید	۱۸
$S_{12}S_{24}$	۱۳۰۰-۸۷۵	مشهد-۱۳	۵۴	S_1S_2	۷۵۰-۴۵۰	سهند	۱۹
$S_{12}S_A$	۱۳۰۰-۱۲۵۰	مشهد-۱۷	۵۵	$S_{24}S_{27}$	۸۷۵-۱۳۶۰	شکوفه	۲۰
S_4S_7	۶۲۰-۱۷۲۰	مشهد-۳۰	۵۶	S_7S_{24}	۱۷۲۰-۸۷۵	شمشیری	۲۱
S_1S_G	۱۲۰۰-۵۵۰ ^۱	مشهد-۴۰	۵۷	S_2S_4	۴۵۰-۶۲۰	شیر بادام	۲۲
S_4S_{27}	۶۲۰-۱۳۶۰	مشهد-۸	۵۸	S_2S_{27}	۴۵۰-۱۳۶۰	شیراز ۱۹	۲۳
S_2S_{24}	۴۵۰-۸۷۵	مشهد-۹۱	۵۹	$S_{11}S_{24}$	۴۰۰-۸۷۵	شیراز ۴۶	۲۴
$S_{12}S_{24}$	۱۳۰۰-۸۷۵	نی ریز-۱	۶۰	$S_{12}S_A^1$	۱۳۰۰-۱۲۵۰	صفری	۲۵
$S_{13}S_C$	۱۰۸۰-۲۹۰	هلویی	۶۱	$S_{13}S_J^1$	۱۰۸۰-۱۷۰۰ ^۲ و ۲۰۰ ^۳	عبداله	۲۶
S_4S_{12}	۶۲۰-۱۳۰۰	یزد-۱۰۳	۶۲	S_4S_7	۶۲۰-۱۷۲۰	قزوین-۱	۲۷
S_6S_7	۵۷۰-۱۷۲۰	یزد-۱۱	۶۳	S_5S_B	۳۳۰-۱۰۶۵	قزوین-۲	۲۸
S_6S_7	۵۷۰-۱۷۲۰	یزد-۱۳	۶۴	S_2S_{10}	۴۵۰-۳۰۰	قزوین-۵	۲۹
$S_{12}S_{13}$	۱۳۰۰-۱۰۸۰	یزد-۱۵	۶۵	S_2S_J	۴۵۰-۴	قزوین-۱۶	۳۰
$S_G S_H$	۵۵۰-۳۸۰	یزد-۱۷	۶۶	$S_{12}S_{27}$	۱۳۰۰-۱۳۶۰	قزوین-۲۵	۳۱
S_4S_{12}	۶۲۰-۱۳۰۰	یزد-۲	۶۷	$S_{13}S_B$	۱۰۸۰-۱۰۶۵	قزوین کا-۱	۳۲
$S_{21}S_G$	۵۰۰-۵۵۰	یزد-۲۱	۶۸	S_7S_{24}	۱۷۲۰-۸۷۵	کا-۱-۱۶	۳۳
S_1S_7	۷۵۰-۱۷۲۰	یلدا-۱	۶۹	S_8S_B	۲۴۷۰ و ۲۲۳۰-۱۰۶۵	کا-۲-۲۹	۳۴
S_1S_7	۷۵۰-۱۷۲۰	یلدا-۲	۷۰	S_9S_{24}	۱۵۶۰-۸۷۵	کا-۱۰-۱۱	۳۵

*: اندازه باندها اکثراً با استفاده از آغازگرهای اینترون دوم تعیین شده است.

۱: آلل‌ها با حروف A تا J جدید می‌باشند، ۲: اندازه باند با استفاده از آغازگرهای جفت اینترون تعیین شده است، ۳: اندازه باند با استفاده از آغازگرهای اینترون اول تعیین شده است، ۴: باندی تکثیر نشد.

et al. (2007)، S_7S_X و توسط Zeinalabedini (2007)، S_5S_C گزارش شده است. از آنجایی که در سیستم نام گذاری آلل‌های ناسازگاری در آمریکا از حروف به جای اعداد استفاده می‌کنند و آلل S_C معادل آلل S_7 در سیستم نام گذاری اروپا است، بنابراین ژنوتیپ گزارش شده برای این رقم در واقع S_5S_7 می‌باشد که فقط از جهت وجود آلل S_7 با نتایج تحقیق حاضر مشابهت دارد. این اختلاف در گزارش ژنوتیپ ناسازگاری شاید به دلیل تفاوت در ژنوتیپ گیاهی مورد استفاده در این بررسی‌ها باشد. در تحقیق حاضر ژنوتیپ ناسازگاری رقم یلدا به صورت S_1S_7 تعیین گردید که با نتایج Valizadeh Kaji et al. (2007) مطابقت دارد. نتایج این تحقیق نشان داد که وجود آلل S_2 در رقم 'سهند'، آلل S_3 در رقم 'آذر' و آلل S_7 در ارقام 'سفید'، 'ربیع' و 'منقا' با نتایج Valizadeh Kaji et al. (2007) مطابقت دارد. Sheikh Alyan (2005) گزارش کرد که ژنوتیپ‌های شماره ۵ و ۱۱ دانشکده دارای یک باند جدید مشترک به اندازه ۱۵۰۰ جفت باز بودند که بر اساس تکثیر DNA هدف با استفاده از آغازگرهای ASIII و AmyC5R (Tamura et al., 2000) تکثیر شده بود. نتایج حاصل از این پژوهش نشان داد که ژنوتیپ ۵ دانشکده (G-5) دارای آلل‌های S_1 و S_{14} و ژنوتیپ ۱۱ دانشکده (G-11) دارای آلل‌های $S_{14}S_{22}$ بودند که این ژنوتیپ‌ها در آلل S_{14} (۱۰۵۰ جفت باز) مشترک هستند که با نتایج Sheikh Alyan (2005) از جهت وجود آلل مشترک مطابقت دارد. شناسایی ژنوتیپ خودناسازگاری این ارقام با استفاده از آغازگرهای دیجرنیت دلیلی بر توانایی و قابلیت این آغازگرها در تکثیر همه آلل‌های ناسازگاری در بادام است. رقم یلدا دارای ژنوتیپ خودناسازگاری S_1S_7 بود که با نتایج Sheikh Alyan (2005) و Valizadeh Kaji et al. (2007) مشابه است، ولی در نتایج Zeinalabedini (2007) فقط یک باند مربوط به آلل S_1 گزارش شده است.

رقم آذر از تلاقی رقم Ai (S_2S_4) و رقم Cristomorto (S_1S_2) به دست آمده است (Chaychi et al., 2002) و لذا باید حاوی دو آلل از مجموع چهار آلل فوق (S_1 ، S_2 ، S_3 و S_4) باشد و لذا ژنوتیپ (S_1S_3) گزارش شده توسط Valizadeh Kaji et al. (2007) به نظر

بر اساس نتایج، اندازه باندهای حاصل از تکثیر آلل‌ها با استفاده از آغازگرهای اینترون اول عمدتاً کوچک تر از ۵۰۰ جفت باز بوده (به جز آلل S_{14} که اندازه آن برابر ۱۱۰۰ جفت باز است) و از طرفی اندازه باندهای حاصل از تکثیر آلل‌ها خیلی نزدیک به هم می‌باشند (شکل ۲)، لذا تخمین و تعیین آلل‌های خودناسازگاری مشکل خواهد بود که با نتایج Ortega et al. (2005) مطابقت دارد. اگر چه آغازگرهای طراحی شده بر اساس اینترون دوم توسط Tamura et al. (2000) و Ma & Oliveira (2001b) برای شناسایی بعضی از آلل‌های خودناسازگاری در بادام مفید هستند، اما این آغازگرها قابلیت تکثیر همه آلل‌های خودناسازگاری شناخته شده در بادام را ندارند (Valizadeh Kaji et al., 2007; Sanchez-Perez et al., 2004). آغازگرهای دیجرنیت اینترون دوم که توسط Sutherland et al. (2004) طراحی شده‌اند، قابلیت تکثیر کلیه آلل‌های شناخته شده و همچنین تکثیر آلل‌های جدید را در ارقام و جمعیت‌های بادام (Ortega et al., 2005) و سایر گونه‌های جنس پرونوس از جمله زردآلو (Sutherland et al., 2004; Zhang et al., 2008) را دارند که نتایج این تحقیق نیز مؤید قابلیت و کارایی بالای این جفت آغازگرها می‌باشد.

Valizadeh Kaji et al. (2007) آلل‌های خودناسازگاری را در ۱۶ رقم بادام ایرانی با استفاده از روش پی‌سی‌آر با ترکیب آغازگرهای ASIII، AmyC5R (Sanchez-Perez et al., 2000) و CEBASf (Tamura et al., 2000) بررسی کردند که در ۱۲ رقم بادام هر دو آلل ناسازگاری و در ۴ رقم فقط یک آلل، تکثیر گردید. نتایج حاصل از تحقیق حاضر نشان داد که هر دو آلل و یا یک آلل خودناسازگاری در ارقام 'مامایی'، 'سفید'، 'ربیع'، 'منقا'، 'آذر'، 'سهند'، 'بادام هلویی'، 'شیر بادام'، 'حاج میرزایی' و 'خورشیدی' با نتایج گزارش شده توسط Valizadeh Kaji et al. (2007) تفاوت دارد (جدول ۴) که با توجه به تنوع ژنتیکی در بادام‌های ایرانی این تفاوت عمدتاً می‌تواند ناشی از تفاوت در نمونه‌های بادام مورد بررسی در دو تحقیق باشد. در این تحقیق ژنوتیپ ناسازگاری رقم ربیع، S_7S_{27} به دست آمد، ولی ژنوتیپ خودناسازگاری این رقم توسط Valizadeh Kaji et al. (2007) گزارش شده است.

دادند که آل‌های خودناسازگاری شامل S_1 ، S_8 ، S_7 ، S_5 ، S_3 به ترتیب با $۲۳/۳$ ، $۱۲/۳$ ، $۷/۸$ و $۷/۸$ درصد دارای بیشتری فراوانی در بین آل‌های خودناسازگاری شناخته شده بادام بودند.

آل‌های S_4 ، S_{24} ، S_{12} و S_2 که بیشترین فراوانی را در بین بادام‌های ایرانی نشان دادند، در ارقام بادام‌های اروپایی و آمریکایی فراوانی کم تا متوسطی دارند، بنابراین بررسی آل‌های ناسازگاری می‌تواند به عنوان یک نشانگر مناسب بیان‌کننده تفاوت‌های ژنتیکی بین بادام‌های محلی ایرانی و رقم‌های خارجی باشد.

Ortega et al. (2006)، ۲۰ گروه دگرناسازگاری (۲۰-۱) و یک گروه دهنده عمومی (گروه O) را بین ارقام خارجی بادام گزارش کردند. در این تحقیق پس از تعیین ژنوتیپ خودناسازگاری در ۷۰ رقم و ژنوتیپ بادام ایرانی، نتایج نشان داد که تعداد زیادی از ارقام و ژنوتیپ‌های بادام ایرانی مورد بررسی دارای ژنوتیپ ناسازگاری متفاوت بودند و در گروه دهنده عمومی قرار گرفتند. گروه دهنده عمومی شامل رقم‌هایی است که می‌توانند رقم‌های موجود در سایر گروه‌های دگرناسازگاری را به طور موفقیت آمیزی گرده‌افشانی و تلقیح نمایند و به صورت متقابل توسط رقم‌های موجود در آن گروه‌ها گرده‌افشانی و تلقیح شوند. همچنین، تعدادی از ارقام و ژنوتیپ‌های ایرانی در گروه‌های دگرناسازگاری قبلی شامل گروه‌های ۲، ۴، ۷، ۱۰، ۱۵ و ۱۷ قرار گرفتند. به طور مثال ژنوتیپ E1 شهرکرد در گروه ۲، ارقام یلدا ۱ و یلدا ۲ در گروه ۴، رقم A-2 در گروه ۷، رقم منقا در گروه ۱۰، رقم A230 در گروه ۱۵ و ژنوتیپ‌های کرمان ۲۰ و G2 قزوین در گروه ۱۷ قرار گرفت. تعدادی از ارقام و ژنوتیپ‌های بادام ایرانی دارای ژنوتیپ خودناسازگاری مشابهی بودند، بنابراین تعداد ۹ گروه دگرناسازگاری جدید شامل گروه‌های ۲۱ تا ۲۹ به گروه‌های قبلی (Ortega et al., 2006) اضافه گردید. به طور مثال ارقام سهند و زرقان ۸ با ژنوتیپ ناسازگاری S_1S_2 ، کا-۱-۱۶ و شمشیری با ژنوتیپ S_7S_{24} ، کا-۱۱-۴۰ و زرقان ۷ با ژنوتیپ S_1S_4 ، نی ریز ۱، مشهد ۱۳ و زنجان ۱ با ژنوتیپ $S_{12}S_{24}$ دارای ژنوتیپ ناسازگاری مشابه بودند و در گروه‌های جدید ناسازگاری قرار گرفتند. بر اساس نتایج این تحقیق و نتایج قبلی تعداد

منطقی تر می‌آید. نتایج این تحقیق نشان داد که دو نمونه به عنوان رقم آذر از دو منطقه تبریز و شهرکرد دارای ژنوتیپ خودناسازگاری متفاوت از یکدیگر بودند. ژنوتیپ آذر-۱ از منطقه شهرکرد دارای ژنوتیپ خودناسازگاری S_3S_{27} بود در حالی که آذر-۲ از منطقه تبریز دارای ژنوتیپ خودناسازگاری S_3S_4 است. در واقع هر دو نمونه آذر مورد بررسی احتمالاً آذر واقعی نبوده و حاصل تلاقی این رقم با سایر ارقام می‌باشد. از آنجایی که ارقام خارجی آی (S_3S_4) و فرنانت دبرزند ($S_{24}S_{27}$) جز ارقام شاهرودی موجود در ایران هستند، بر اساس این نتایج، ژنوتیپ آذر-۲ یا همان رقم آی بوده است و یا دارای آل‌های مشابه با آن می‌باشد و ژنوتیپ آذر-۱ (S_3S_{27}) در اثر گرده‌افشانی آزاد از رقم فرنانت دبرزند ($S_{24}S_{27}$) با یک رقم دارای آل S_3 مانند آی (S_3S_4) و فرانیس (S_1S_3) به دست آمده است.

رقم شکوفه از شهرکرد دارای آل $S_{24}S_{27}$ بود که با رقم خارجی فرنانت دبرزند ($S_{24}S_{27}$) دارای ژنوتیپ خودناسازگاری یکسان هستند که احتمالاً این دو رقم یکسان بوده و یا دارای آل‌های مشابه با آن می‌باشد. آل S_3 از ارقام آذر و شکوفه توسط Sheikh Alyan (2005) و Valizadeh Kaji et al. (2007) گزارش شده است که در رقم آذر-۱ (S_3S_{27}) و آذر-۲ (S_3S_4) این آل تکثیر شده است، ولی در رقم شکوفه آل S_3 مشاهده نگردید که احتمالاً به اشتباه یک کلون از رقم خارجی فرنانت دبرزند به نام رقم شکوفه در کلکسیون نام‌گذاری شده است، زیرا با رقم شکوفه (S_3S_7) که از تلاقی نان پاریل (S_7S_8) با رقم آی (S_3S_4) به دست آمده (Chaychi et al., 2002)، متفاوت است. بر اساس نتایج این تحقیق ژنوتیپ خودناسازگاری رقم سهند، S_1S_2 به دست آمد. وجود آل S_1 توسط Zeinalabedini (2007) و ژنوتیپ خودناسازگاری S_2S_X توسط Valizadeh Kaji et al. (2007) در این رقم گزارش شده است.

بر اساس نتایج به دست آمده در بین جمعیت بادام‌های ایرانی مورد مطالعه در این تحقیق، آل‌های خود ناسازگاری S_4 ، S_1 ، S_{24} ، S_7 ، S_{12} و S_2 به ترتیب با $۱۸/۵$ ، ۱۷ ، $۱۵/۷$ و $۱۴/۳$ درصد دارای بیشترین فراوانی در بین رقم‌های بادام ایرانی بودند. Lopez et al. (2006) با بررسی ۱۱۵ رقم بادام اروپایی و آمریکایی که ژنوتیپ ناسازگاری آنها به طور کامل شناسایی شده بود، نشان

ایران و نتاج حاصل از تلاقی‌های کنترل شده بسیار مفید و سودمند است و قابلیت بالایی در جهت شناسایی آلل‌های ناسازگاری دارند.

سپاسگزاری

از معاونت محترم پژوهشی پردیس کشاورزی و منابع طبیعی دانشگاه تهران به جهت فراهم آوردن بخشی از هزینه‌های پژوهش و از وزارت علوم، تحقیقات و فناوری به جهت فراهم نمودن زمینه فرصت مطالعاتی تشکر نموده و از مؤسسه تحقیقاتی CEBAS-SCIC اسپانیا به جهت فراهم آوردن امکانات و هزینه‌های آزمایشگاهی این پژوهش قدردانی می‌شود.

گروه‌های دگرناسازگاری در ارقام بادام به ۳۰ گروه افزایش یافت.

بر اساس نتایج، با توجه به تکثیر آلل‌های شناخته شده در ارقام بادام ایرانی بر اساس مقایسه اندازه باندهای آنها با ارقام شاهد و نشانگر یک کیلو جفت بازی، آغازگرهای اینترون دوم به دلیل پوشش دادن ناحیه با تنوع بالا (HVR) حد فاصل نواحی حفاظت شده C_2 و C_3 در ساختار ژن ناسازگاری در مقایسه با آغازگرهای اینترون اول و آغازگرهای جفت اینترون و آغازگرهای عمومی قابلیت و کارایی بهتری در شناسایی آلل‌های ناسازگاری دارند. لذا استفاده از آغازگرهای اینترون دوم جهت شناسایی آلل‌های ناسازگاری در جمعیت بادام‌های

REFERENCES

- Ballester, J., Boskovic, R., Batlle, I., Arus, P., Vargas, F. & Vicente de, M. C. (1998). Location of the self-incompatibility gene on the almond linkage map. *Plant Breeding*, 117, 69-72.
- Boskovic, R., Tobutt, K. R., Batlle, I. & Duval, H. (1997). Correlation of ribonuclease zymograms and incompatibility genotypes in almond. *Euphytica*, 97, 167-176.
- Boskovic, R., Tobutt, K. R., Batlle, I., Duval, H., Martinez-Gomez, P. & Gradziel, T. M. (2003). Styler ribonucleases in almond: correlation with and prediction of incompatibility genotypes. *Plant Breeding*, 122, 70-76.
- Certal, A. C., Almeida, R. B., Boskovic, R., Oliveira, M. M. & Feijó, J. A. (2002). Structural and molecular analysis of self-incompatibility in almond (*Prunus dulcis*). *Sexual Plant Reproduction*, 15, 13-20.
- Channuntapipat, C., Wirthensohn, M., Ramesh, S. A., Batlle, I., Arús, P., Sedgley, M. & Collins, G. (2003). Identification of incompatibility genotypes in almond using specific primers based on the introns of the *S*-alleles. *Plant Breeding*, 122, 164-168.
- Channuntapipat, C., Sedgley, M., Batlle, I., Arús, P. & Collins G. (2002). Sequences of the genomic cDNAs encoding the S2, S9, S10, and S23 alleles from almond, *Prunus dulcis*. *Journal of Horticultural Science and Biotechnology*, 77(4), 387-392.
- Channuntapipat, C., Sedgley, M. & Collins, G. (2001). Sequences of the cDNAs and genomic DNAs encoding the S1, S7, S8, and Sf alleles from almond, *Prunus dulcis*. *Theoretical and Applied Genetics*, 103, 1115-1122.
- Chaychi, S., Hassanzadeh, N., Mashhadi Jafarloo, M. & Bybordi, A. (2002). Almond Manual: Agricultural Research and Education Organization, Ministry of Jihad-e Agriculture, Pp.172. (In Farsi).
- Crossa-Raynaud, P. & Grasselly, C. (1985). Existence de groupes 'intersterilite chez l'amandier. *Options Me'diterrane'ennes. Serie Etudes* 1, 43-45.
- Dicenta, F. & Garcia, J. E. (1993). Inheritance of self-compatibility in almond. *Heredity*, 70, 313-317.
- Dicenta, F., Ortega, E., Martinez-Gomez, P., Boskovic, R. & Tobutt, K. R. (2002). Comparison of homozygous and heterozygous self-compatible seedlings in an almond breeding programme. *Euphytica*, 124, 23-27.
- Doyle, J. J. & Doyle, J. L. (1987). A rapid DNA isolation procedure for small quantities of fresh leaf tissue. *Phytochemistry Bulletin*, 19, 11-15.
- Halasz, J., Hegedus, A., Herman, R., Stefanovits-Banyai, E. & Pedryc, A. (2005). New self-incompatibility alleles in apricot (*Prunus armeniaca* L.) revealed by styler ribonuclease assay and S-PCR analysis. *Euphytica*, 145, 57-66.
- Halasz, J., Hegedus, A. & Pedryc A. (2006). Review of the molecular background of self-incompatibility in rosaceous fruit trees. *International Journal of Horticultural Science*, 12(2), 7-18.
- Halasz, J. & Hegedus, A. (2006). A critical evaluation of methods used for *S*-genotyping: from trees to DNA level. *International Journal of Horticultural Science*, 12(2), 19-29.
- Kester, D. E. & Gradziel, T. M. (1996). Almonds (*Prunus*). In: Moore, J.N. and Janick, J. (eds.). *Fruit Breeding*. Vol. 3, New York: Wiley. Pp. 1-97

17. Kester, D. E., Gradziel, T. M. & Micke, W. C. (1994). Identifying pollen incompatibility groups in California almond cultivars. *Journal of American Society for Horticultural Science*, 119, 106-109.
18. Kodad, O., Alonso, J. M., Sanchez, A., Oliviera, M. M. & Socias i Company, R. (2008). Evaluation of genetic diversity of S-alleles in an almond germplasm collection. *Journal of Horticultural Science and Biotechnology*, 83(5), 603-608.
19. Lopez, M., Vargas, F. J. & I. Batlle. (2006). Self-(in) compatibility almond genotypes: A review. *Euphytica*, 150, 1-16.
20. Ma, R. C. & Oliveira, M. M. (2001a). Molecular identification of s-genotypes of almond (*Prunus dulcis*). *Acta Horticulturae*, 546, 575-580.
21. Ma, R. C. & Oliveira, M. M. (2001b). Molecular cloning of the self-incompatibility genes S1 and S3 from almond (*Prunus dulcis* cv. Ferragnès). *Sexual Plant Reproduction*, 14, 163-167.
22. McClure, B. A. & Franklin-Tong, V. (2006). Gametophytic self-incompatibility: understanding the cellular mechanisms involved in "self" pollen tube inhibition. *Planta*, 224, 233-245.
23. McCubbin, A. G. & Kao, T. H. (2000). Molecular recognition and response in pollen and pistil interactions. *Annual Review Cell. Developmental Biology*, 16, 333-364.
24. Murray, H. C. & Thompson, W. F. (1980). Rapid isolation of high molecular weight plant DNA. *Nucleic Acid Research*, 8, 4321-4325.
25. Nettancourt, de D. (1997). Incompatibility in angiosperms. *Sex Plant Reprod*, 10, 185-199.
26. Ortega E., Egea, J., Cánovas, J. A. & Dicenta, F. (2002). Pollen tube dynamics following half- and fully-compatible pollinations in self-compatible almond cultivars. *Sexual Plant Reproduction*, 15, 47-51.
27. Ortega, E. & Dicenta, F. (2003). Inheritance of self-compatibility in almond: breeding strategies to assure self-compatibility in the progeny. *Theoretical and Applied Genetics*, 106, 904-911.
28. Ortega, E. & Dicenta, F. (2004). Suitability of four different methods to identify self-compatible Seedlings in an almond breeding programme. *Journal of Horticultural Science and Biotechnology*, 79(5), 747-753.
29. Ortega, E., Sutherland, B. G., Dicenta, F., Boskovic, R. & Tobutt, K. R. (2005). Determination of incompatibility genotypes in almond using first and second intron consensus primers: detection of new S alleles and correction of reported S genotypes. *Plant Breeding*, 124, 188-196.
30. Ortega, E., Boskovic, R., Sargent, D. J. & Tobutt, K. R. (2006). Analysis of S-RNase alleles of almond (*Prunus dulcis*): characterization of new sequences, resolution of synonyms and evidence of intragenic recombination. *Molecular. Genetics and Genomics*, 76, 413-426.
31. Sanchez-Perez, R., Dicenta, F. & Martinez-Gomez, P. (2004). Identification of S-alleles in almond using multiplex PCR. *Euphytica*, 138, 263-269.
32. Sheikh Alyan, A. (2005). *Study of phenotypic and molecular among some hybrids mass on almond*. M.Sc. thesis in Horticultural Science, Faculty of Agriculture, University of Tehran, Iran. (In Farsi).
33. Socias i Company, R. (1990). Breeding self-compatible almonds. *Plant Breeding. Review*, 8, 313-338.
34. Sonneveld, T., Tobutt, K. R. & Robbins T. P. (2003). Allele-specific PCR detection of sweet cherry self-incompatibility (S) alleles S1 to S16 using consensus and allele-specific primers. *Theoretical and Applied Genetics*, 107, 1059-1070.
35. Sonneveld, T., Robbins, T. P., Boskovic, R. & Tobutt, K. R. (2001). Cloning of six cherry self-incompatibility alleles and development of allele-specific PCR detection. *Theoretical and Applied Genetics*, 102, 1046-1055.
36. Sutherland, B. G., Tobutt, K. R. & Robbins, T. P. (2008). Trans-specific S-RNase and SFB alleles in *Prunus* self-incompatibility haplotypes. *Molecular Genetics and Genomics*, 279, 95-106.
37. Sutherland, B. G., Robbins, T. P. & Tobutt, K. R. (2004). Primers amplifying a range of *Prunus* S-alleles. *Plant Breeding*, 123, 582-584.
38. Tamura, M., Ushijima, K., Sassa, H., Hirano, H., Tao, R., Gradziel, T. M. & Dandekar, A. M. (2000). Identification of self-incompatibility genotypes of almond by allele-specific PCR analysis. *Theoretical and Applied Genetics*, 101, 344-349.
39. Tao, R., Yamane, H., Sassa, H., Mori, H., Gradziel, T. M., Dandekar, A. M. & Sugiura A. (1997). Identification of stylar RNases associated with gametophytic self-incompatibility in almond (*Prunus dulcis*). *Plant Cell Physiology*, 38(3), 304-11.
40. Ushijima, K., Sassa, H., Tao, R., Yamane, H., Dandekar, A. M., Gradzie, T. M. & Hirano, H. (1998). Cloning and characterization of cDNAs encoding S-RNases from almond (*Prunus dulcis*): primary structural features and sequence diversity of the S-RNases in Rosaceae. *Molecular Genetics and Genomics*, 260, 261-268.
41. Ushijima, K., Sassa, H., Dandekar, A. M., Gradziel, T. M., Tao, R. & Hirano H. (2003) Structural and transcriptional analysis of the self-Incompatibility locus of almond: identification of a pollen-expressed F-Box gene with haplotype-specific polymorphism. *The Plant Cell*, 15, 771-781.

42. Valizadeh Kaji, B., Ershadi, A. & Gholami, M. (2007). Identification of self-incompatibility alleles in some Iranian and foreign almond (*Prunus dulcis* M.) cultivars using PCR. *Iranian Journal of Horticultural science and Technology*, 8(4), 249-258. (In Farsi).
43. Zeinalabedini, M. (2007). *Study of genetic relationships among some of almond cultivars and Prunus related species with using SSR markers*. Ph. D. thesis in Horticultural Science, Faculty of Agriculture, Tabriz University, Iran. (In Farsi).
44. Zhang, L., Chen, X., Chen, X., Zhang, C., Liu, X., Ci, Z., Zhang, H., Wu, C. & Liu, C. (2008). Identification of self-incompatibility (S-) genotypes of Chinese apricot cultivars. *Euphytica*, 160, 241-248.